

## ОЦЕНКА ЭКСПОНЕНЦИАЛЬНОЙ СЛОЖНОСТИ СТАНДАРТА АЛГОРИТМА ШИФРОВАНИЯ AES-FIPS-197

**Узаков Ортик Шаймарданович,**  
*Каршинский филиал ташкентского университета информационных технологий имени Мухаммада аль-Хоразми, Кафедра «Информационных технологий», ассистент*

Оценка экспоненциальной сложности дешифрования шифр текстов позволит дать ответ на вопрос, “каким должен быть крипто стойкий алгоритм шифрования”, чтобы дешифрование шифр текста не было практически возможным без исходного ключа шифрования.

В 2001 году стандартом шифрования данных был принят AES (Advanced Encryption Standard) (FIPS -197) за основу которого был взят алгоритм шифрования RIJNDAEL, разработанный Бельгийскими специалистами Йон Дэмен (Joan Daemen) и Винсент Рюмен (Vincent Rijmen), начальные буквы фамилий которых и образуют название алгоритма – *RIJNDAEL*. RIJNDAEL – это итерационный блочный алгоритм шифрования, имеющий архитектуру "Квадрат". Алгоритм шифрования имеет переменную длину блоков и различные длины ключей. Длина ключа и длина блока могут быть равными независимо друг от друга 128, 192 или 256 битам. В стандарте AES определена длина блока данных, равная 128 битам.

Промежуточные результаты преобразований, выполняемых в рамке алгоритма, называются *состояниями (State)*. Состояние можно предоставить в виде прямоугольного массива байтов. В общем случае число столбцов  $N_b$  равно  $N_b = l:32$ , где  $l=128, 192, 256$  - длина блока входных данных в битах. При размере блока входных данных, равном  $l=128$  битам, этот  $128:8 = 16$ -байтовый массив имеет 4 строки и 4 столбца, каждая строка и каждый столбец в этом случае могут рассматриваться как  $4 \times 8 = 32$ - разрядные слова (Рис. 1 а), где  $a_i$  –байт блока данных. В случае  $l = 192$ , имеем  $N_b = l:32=6$  и при  $l = 256$ , имеем  $N_b = l:32=8$ , где значения 6 и 8 определяют число столбцов таблицы состояний. Таким образом, в случае  $l = 128$  имеем таблицу состояний  $4 \times 4$ , при  $l = 192$  имеем таблицу состояний  $4 \times 6$ , при  $l = 256$  имеем таблицу состояний  $4 \times 8$ . Входные данные для шифра обозначаются как байты состояния, например, при  $l = 128$  в порядке  $s_{00}, s_{10}, s_{20}, s_{30}, s_{01}, s_{11}, s_{21}, s_{31}, s_{02}, s_{12}, s_{22}, s_{32}, s_{03}, s_{13}, s_{23}, s_{33}$  (Рис.1 б). Аналогично, 128 битовый ключ шифрования представляется байтами  $k_{00}, k_{10}, k_{20}, k_{30}, k_{01}, k_{11}, k_{21}, k_{31}, k_{02}, k_{12}, k_{22}, k_{32}, k_{03}, k_{13}, k_{23}, k_{33}$  (Рис. 1 в).

$a_0$	$a_4$	$a_8$	$a_{12}$
$a_1$	$a_5$	$a_9$	$a_{13}$
$a_2$	$a_6$	$a_{10}$	$a_{14}$
$a_3$	$a_7$	$a_{11}$	$a_{15}$

$s_{00}$	$s_{01}$	$s_{02}$	$s_{03}$
$s_{10}$	$s_{11}$	$s_{12}$	$s_{13}$
$s_{20}$	$s_{21}$	$s_{22}$	$s_{23}$
$s_{30}$	$s_{31}$	$s_{32}$	$s_{33}$

$k_{00}$	$k_{01}$	$k_{02}$	$k_{03}$
$k_{10}$	$k_{11}$	$k_{12}$	$k_{13}$
$k_{20}$	$k_{21}$	$k_{22}$	$k_{23}$
$k_{30}$	$k_{31}$	$k_{32}$	$k_{33}$

а)
б)
в)

Рис. 1. Пример представления 128-разрядного блока данных в виде массива *State*.

а) пример представления блока  $a_i$ , где  $a_i$  - байты блока данных, а каждый столбец - одно 32-разрядное слово;

б) пример представления блока входных данных ( $N_b= 4$ ), где  $s_{ij}$  - байты блока данных, находящиеся на пересечении  $i$ -й строки и  $j$ -го столбца.;

в) пример представления ключа шифрования ( $N_k= 4$ ), где  $k_{ij}$  - байты ключа, находящиеся на пересечении  $i$ -й строки и  $j$ -го столбца.

Число раундов  $N_r$  в алгоритме RIJNDAEL зависит от значений  $N_b$  и  $N_k$  как показано в таблице 1. В стандарте AES определено соответствие между размером ключа, размером блока данных и числом раундов шифрования, как показано в таблице 2:

Таблица 1. Число раундов  $N_r$  как функция от длины ключа  $N_k$  и длины блока  $N_b$ .

$N_r$	$N_b = 4$	$N_b = 6$	$N_b = 8$
$N_k = 4$	10	12	14
$N_k = 6$	12	12	14
$N_k = 8$	14	14	14

Таблица 2. Соответствие между длиной ключа, размером блока данных и числом раундов в стандарте AES.

Стандарт	Длина ключа ( $N_k$ )	Размер блока данных ( $N_b$ )	Число раундов ( $N_r$ )
AES-128	4	4	10
AES-192	6	4	12
AES-256	8	4	14

Ниже рассчитаем степень экспоненциальной сложности для стандарта алгоритма шифрования AES-128, схема алгоритма шифрования приведена на рис. 2.

Вначале мы имеем значение выходного блока данных  $B(128$  бит), вычисляем значение раундового ключа десятого раунда шифрования, который складывается по операции XOR с выходом значения операции сдвига строк  $ShiftRows()$ . Для нахождения раундового  $AddRoundKey = ShiftRows \oplus B$  ключа необходимо  $2^{128}$  операций полного перебора – степень экспоненциальной сложности данного преобразования.

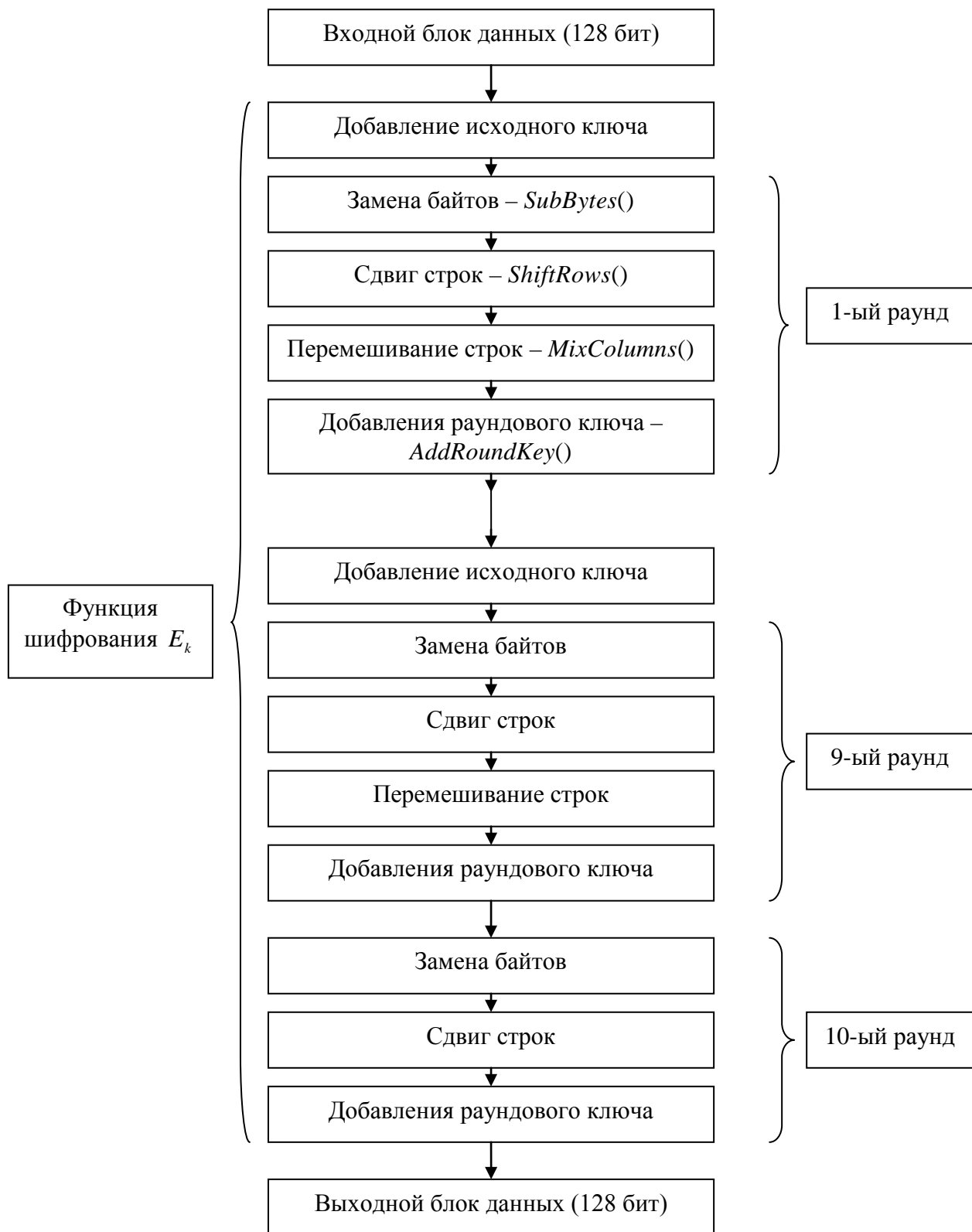


Рисунок 2. Схема стандарта алгоритма шифрования AES.

Таблица 3. Таблица зависимости числа сдвига строк от длины входного блока.

$L$	$N_b$	$C_0$	$C_1$	$C_2$	$C_3$
128	4	0	1	2	3
192	6	0	1	2	3
256	8	0	1	3	4

Одновременно мы имеем значение выхода операции сдвига строк ShiftRows() десятого раунда шифрования.

Далее мы находим значение входа операции сдвига строк ShiftRows(). Преобразование сдвига строк ShiftRows() – побайтового сдвига строк массива состояний на различное количество байт. Нулевая строка  $S'_{00} S'_{01} S'_{02} S'_{03}$  остается без сдвига. Остальные 3 строки состояния циклически сдвигаются влево на различное число байтов. Значения сдвигов первой строки  $C_1$ , второй строки  $C_2$ , третьей строки  $C_3$  зависят от длины блока  $N_b$  – количество 32-разрядных (битных) слов или 1 -длины блока данных в битах и задаются таблицей 3. Данное преобразование не дает никакой сложности.

Далее мы находим значение входа операции замены байтов SubBytes() - побайтовой подстановки в S-блоках с фиксированной таблицей замен размерностью 16×16, включающееея двух преобразований входного байта:

1) Первое преобразование каждого байта состояния  $s_{ij}$  преобразуется на мультипликативный обратный элемент  $s_{ij}^{-1}$  поля  $GF(2^8)$ , по-другому выражаясь, получение обратного элемента относительно умножения в поле  $GF(2^8)$ , т.е.  $s_{ij}s_{ij}^{-1} \equiv 1 \pmod{(x^8 + x^4 + x^3 + x + 1)}$ , при этом нулевой элемент {00} переходит сам в себя;

2) Второе преобразование обеспечивает над полем  $GF(2)$  аффинное преобразование обратного элемента  $b = s_{ij}^{-1}$  (1) по правилу  $Cb + c_0 \pmod{(x^8 + 1)} = b'$  следующим образом:

$$\begin{bmatrix} 10001111 \\ 01000111 \\ 11100011 \\ 11110001 \\ 11111000 \\ 01111100 \\ 00111110 \\ 00011111 \end{bmatrix} \begin{bmatrix} b_0 \\ b_1 \\ b_2 \\ b_3 \\ b_4 \\ b_5 \\ b_6 \\ b_7 \end{bmatrix} + \begin{bmatrix} 1 \\ 1 \\ 0 \\ 0 \\ 0 \\ 1 \\ 1 \\ 0 \end{bmatrix} = \begin{bmatrix} b'_0 \\ b'_1 \\ b'_2 \\ b'_3 \\ b'_4 \\ b'_5 \\ b'_6 \\ b'_7 \end{bmatrix} \quad (1)$$

Эти два преобразования осуществляются в конечных полях, поэтому число значений результата преобразований конечно и результаты этих двух преобразования даются по таблице 4.

Таблица 4. S-блок стандарта алгоритма шифрования AES-128.

X\Y	0	1	2	3	4	5	6	7	8	9	a	b	c	d	e	f
0	63	7c	77	7b	12	6b	6f	c5	30	01	67	2b	fe	d7	ab	76
1	ca	82	c9	7d	fa	59	47	f0	ad	d4	a2	af	9c	a4	72	c0
2	b7	fd	93	26	36	3f	f7	cc	34	a5	e5	f1	71	d8	31	15
3	04	c7	23	c3	18	96	05	9a	07	12	80	e2	eb	27	b2	75
4	09	83	2c	1a	1b	62	5a	a0	52	3b	d6	b3	29	e3	2f	84
5	53	d1	00	ed	20	fc	b1	5b	6a	cb	Be	39	4a	4c	58	cf
6	d0	ef	aa	fb	43	4d	33	85	45	f9	02	7f	50	3c	9f	a8
7	51	a3	40	8f	92	9d	38	f5	bc	b6	da	21	10	ff	f3	d2
8	cd	0c	13	ec	5f	97	44	17	c4	a7	7e	3d	64	5d	18	73
9	60	81	4f	dc	22	2a	90	88	46	ee	b8	14	de	5e	0b	db
a	e0	32	3a	0a	49	06	24	5c	c2	d3	ac	62	91	95	e4	79
b	e7	c8	37	6d	8d	d5	4e	a9	6c	56	f4	ea	65	7a	ae	08
c	ba	78	25	2e	1c	a6	b4	c6	e8	dd	74	1f	4d	bd	8b	8a
d	70	3e	b5	66	48	03	f6	0e	61	35	57	b9	86	c1	1d	9e
e	e1	f8	98	11	69	d9	8e	94	9b	1e	87	e9	ce	55	28	df
f	8c	a1	89	0d	bf	e6	42	68	41	99	2d	0f	b0	54	bb	16

В стандарте алгоритма шифрования AES S-блок является известным и данное преобразование никакой сложности не дает. Таким образом мы получили выход из девятого раунда алгоритма шифрования.

В раундах с девятого по первый мы выполняем аналогичные преобразования восстановления всех остальных раундовых ключей. За исключением того, что в данных раундах мы имеем дело ещё с одним преобразованием – перемешивание столбцов *MixColumns*. В этом преобразовании столбцы состояния рассматриваются как многочлены степени не более трех с коэффициентами из поля  $GF(2^8)$  и умножаются по модулю  $x^4 + 1$  на многочлен  $g(x) = \{03\}x^3 + \{01\}x^2 + \{01\}x + \{02\}$ .

Для удобства если вводить обозначение (2.3.1), что

$$\begin{aligned}
 s_{00} &= s_{00}, s_{10} = s_{11}, s_{20} = s_{22}, s_{30} = s_{33}, \\
 s_{01} &= s_{01}, s_{11} = s_{12}, s_{21} = s_{23}, s_{31} = s_{30}, \\
 s_{02} &= s_{02}, s_{12} = s_{13}, s_{22} = s_{20}, s_{32} = s_{31}, \\
 s_{03} &= s_{03}, s_{13} = s_{10}, s_{23} = s_{21}, s_{33} = s_{32}.
 \end{aligned} \tag{1}$$

Столбцы таблицы состояний, всегда состоящие из четырех байт, представляется полиномами третьей степени:  $s(x) = s_{3j}x^3 + s_{2j}x^2 + s_{1j}x + s_{0j} \pmod{x^4 + 1}$ ,  $j=0,1,2,3,4$ .

Коэффициенты  $s(x) = s_{3j}x^3 + s_{2j}x^2 + s_{1j}x + s_{0j} \pmod{x^4 + 1}$  принимают значения в интервале от нуля  $0_{10} = (00000000)_2$  до  $255_{10} = (11111111)_2$ . Преобразованный

столбец  $s'(x)$  есть  $g(x) \otimes s(x) \pmod{x^4 + 1} = s'(x)$ .

Это последнее равенство преобразования в матричном виде имеет вид (3) (конечно с учетом модуля умножения):

$$\begin{bmatrix} s'_{0j} \\ s'_{1j} \\ s'_{2j} \\ s'_{3j} \end{bmatrix} = \begin{bmatrix} \{02\}\{03\}\{01\}\{01\} \\ \{01\}\{02\}\{03\}\{01\} \\ \{01\}\{01\}\{02\}\{03\} \\ \{03\}\{01\}\{01\}\{02\} \end{bmatrix} \cdot \begin{bmatrix} s_{0j} \\ s_{1j} \\ s_{2j} \\ s_{3j} \end{bmatrix} = \begin{bmatrix} (\{02\} \bullet s_{0j}) \oplus (\{03\} \bullet s_{1j}) \oplus s_{2j} \oplus s_{3j} \\ s_{0j} \oplus (\{02\} \bullet s_{1j}) \oplus (\{03\} \bullet s_{2j}) \oplus s_{3j} \\ s_{0j} \oplus s_{1j} \oplus (\{02\} \bullet s_{2j}) \oplus (\{03\} \bullet s_{3j}) \\ (\{03\} \bullet s_{0j}) \oplus s_{1j} \oplus s_{2j} \oplus (\{02\} \bullet s_{3j}) \end{bmatrix} \quad (3).$$

Данное преобразование никакой сложности не представляет.

После восстановления входного значения первого раунда мы восстанавливаем значение исходного ключа (128 бит) (операция XOR) – степень экспоненциальной сложности так же составляет  $2^{128}$  операций полного перебора. Получаем значение исходного входного блока открытого текста и значение исходного и 10-ти раундовых ключей.

Таким образом, в алгоритме AES степень экспоненциальной сложности зависит от длины входного блока и размера ключа. В таблице 5 приведены значения степень экспоненциальной сложности стандарта алгоритма шифрования AES.

Таблица 5. Степень экспоненциальной сложности стандарта алгоритма шифрования AES.

AES-128		
Тип преобразования	Вид преобразования	Степень экспоненциальной сложности
Операция побитного сложения по модулю 2	$AddRoundKey = ShiftRows \oplus B$	$2^{128}$
Один раунд шифрования	$2^{128}$	$2^{128}$
10 раундов шифрования	$2^{128*10} 2^{128}$	$2^{1408}$
AES-192		
Операция побитного сложения по модулю 2	$AddRoundKey = ShiftRows \oplus B$	$2^{192}$
Один раунд шифрования	$2^{192}$	$2^{192}$
12 раундов шифрования	$2^{192*12} 2^{192}$	$2^{2496}$
AES-256		
Операция побитного сложения по модулю 2	$AddRoundKey = ShiftRows \oplus B$	$2^{256}$
Один раунд шифрования	$2^{256}$	$2^{256}$
14 раундов шифрования	$2^{256*14} 2^{256}$	$2^{3840}$

В заключение хочется отметить, с использованием в данной методов оценки экспоненциальной сложности можно дать оценку стойкости других алгоритмов шифрования.

### Литература

1. Акбаров Д. Е. “Ахборот хавфсизлигини таъминлашнинг криптографик усуллари ва уларнинг қўлланилиши” - Тошкент, 2008 394 бет.
2. Шнайер Б. Прикладная криптография. Протоколы, алгоритмы, исходные тексты на языке Си. -М.: издательство ТРИУМФ, 2003 - 816 стр.
3. Практическая криптография. Нильс Фергюсон, Брюс Шнайер. 2005.